

تحلیل عوامل مؤثر بر فرونشست در دشت سبزوار

منیژه قهرودی تالی^۱

هما ریوندی^۲

تاریخ پذیرش مقاله: ۹۹/۱۰/۱۹

تاریخ دریافت مقاله: ۹۹/۰۴/۱۵

چکیده

مخاطره فرونشست زمین به صورت خزنده از حدود پنج دهه قبل در حال شدت گرفتن است و همه دشت‌ها و مناطق شهری ایران را تحت تأثیر قرار داده است. دشت سبزوار از جمله مناطقی است که با پدیده فرونشست مواجه است. در این پژوهش ضمن پنهان‌بندی فرونشست، عوامل پایین رفتن سطح آب‌های زیرزمینی، پراکنش قنات‌ها، چاه‌ها و گسل‌ها بررسی شد. به منظور مطالعه میزان فرونشست از شش تصویر SLC بازد C ماهواره انسانی ASAR در بازه زمانی سال‌های ۲۰۰۴ تا ۲۰۰۸ استفاده شد. همچنین سطح تراز آب‌های زیرزمینی طی دوره‌ی ۱۳۹۲ - ۱۳۵۲ با داده‌های مکانی چاه‌ها و قنات‌های منطقه اندازه‌گیری شد. از تصاویر راداری؛ اینترفوگرام تفاضلی، کوهنوسی، کاهش اثرات توپوگرافی، فیلترینگ و درنهایت میزان جابه‌جایی استخراج شد. برای برآورد میزان افت آب‌های زیرزمینی و فرونشست حاصل از آن، سطح آب چاه‌های پیزومتری درون‌یابی شد. برای بررسی رابطه بین پراکنش فضایی فرونشست و موقعیت چاه‌ها، قنات‌ها و گسل‌ها نیز از روش‌های همپوشانی استفاده شد. نتایج نشان داد که بیشترین فرونشست در شمال شرق منطقه رخ داده و جهت فرونشست جنوب‌غربی و شمال‌شرقی است. شهرهای داخل دشت سبزار از جمله شهر سبزوار با میانگین نشست حدود ۱۰ اسانتی‌متر در یک دوره ۵ ساله مواجه است. روند گسل‌ها عمود بر جهت فرونشست است که بیانگر نقش آن‌ها در جابه‌جایی عمودی رو به پایین است. نتایج تحلیل آمار درازمدت سطح پیزومتری نشان داده که در پنهانه هموار دشت سبزوار، پایین رفتن سطح آب‌های زیرزمینی به سمت شرق رو به افزایش است؛ بنابراین عوامل مهم در رخداد فرونشست در این منطقه در مرحله اول کاهش سطح آب‌های زیرزمینی است. آمار درازمدت سطح پیزومتری نیز تأکیدی بر این رخداد است. گسل‌ها به دلیل عمود بودن سطح فرونشست با جهت آن‌ها می‌توانند نقش تشدید‌کننده‌ی داشته باشند؛ به عبارت دیگر هرچقدر سطح آب‌های زیرزمینی در این منطقه کاهش یابد با یک ضریب افزایشی، با تشدید پدیده فرونشست مواجه خواهیم بود.

واژه‌های کلیدی: تداخل سنگی تفاضلی راداری، فرونشست، آب‌های زیرزمینی، دشت سبزوار.

۱- استاد گروه ژئومورفولوژی، دانشکده علوم زمین، دانشگاه شهید بهشتی، تهران، ایران (نویسنده مسئول) m-ghahroudi@sbu.ac.ir

۲- دکتری ژئومورفولوژی، دانشکده علوم زمین، دانشگاه شهید بهشتی، تهران، ایران khadijehalinoori@gmail.com

۳- کارشناسی ارشد ژئومورفولوژی، دانشکده علوم زمین، دانشگاه شهید بهشتی، تهران، ایران hr.persis70@yahoo.com

۱- مقدمه

دریاچه‌های موجود در این استان از جمله پریشان، بختگان، کافتر، فروچاله‌های متعدد در سطح زمین تشید شده است طبق گفته‌های مدیر کل سازمان زمین‌شناسی کل کشور اکنون برآسas جدیدترین بررسی‌ها، استان فارس نشستی سالانه به میزان ۶۵ سانتی‌متر، به ثبت رسانده است. در سال‌های اخیر میزان ترک‌ها در زمین‌های کشاورزی و ساختمان‌های مسکونی، خیابان‌ها و زیرساخت‌ها به وفور نمایان شده است به‌گونه‌ای که در بخش کشاورزی سبب تحلیل و ازبین‌رفتن بخشی از زمین‌ها شده و در بخش مسکونی سبب ریزش‌های پیاپی در ساختمان‌ها گردیده و خسارات‌های جبران‌ناپذیری را در برگرفته است. ترک‌ها در سطح خیابان‌ها هزینه‌های بهسازی را در سطح شهر چندین برابر نموده و افزایش میزان سیلاب‌ها با خشک شدن قنات‌ها و تبدیل مسیر قنات‌ها به جدول‌های هدایت آب که زمانی به عنوان یک عامل مثبت در جلوگیری از سیلاب بوده امروزه به یک خطر جبران‌ناپذیر در سطح مناطق شهری تبدیل شده است (شفیعی و همکاران، ۱۳۸۰: ۹۶؛ ۱۳۹۱: ۹۶). همچنین سطح آب چاه‌ها در بازه زمانی ۱۳۹۰ در دشت‌های فسا و داراب این استان به بیشترین حد کاهش خود رسیده‌اند؛ که می‌تواند متأثر از سیاست‌های خودکفایی تولید محصول استراتژیک گندم در این استان و فشار بیش از حد به منابع آب‌های زیرزمینی در این سال‌ها باشد (گلی و همکاران ۹۱: ۱۳۹۱). در سال‌های اخیر در دشت گرگان نیز همانند سایر نقاط ایران، کاهش بارش باعث برداشت بی رویه از آب‌های زیرزمینی شده است. شواهد مختلف در دشت گرگان حاکی از بروز پدیده فرونشست در آن است؛ در برخی نقاط در دشت پدیده لوله‌زایی مشاهده شده که خود شاهدی بر وجود فرونشست در این دشت می‌باشد (تورانی و همکاران ۱۳۹۷: ۱۱۷). نمونه آشکار این پدیده در دشت تهران نیز به چشم می‌خورد. در این راستا بررسی‌های انجام شده توسط سازمان زمین‌شناسی و اکتشافات معدنی، مشخص کرد که کاهش تراز سطح زمین در رابطه با رخداد پدیده فرونشست در امتداد جاده کمربندي تهران (بزرگراه آزادگان و همچنین حدفاصل سه‌راه آذری تا

در سال‌های اخیر در ایران با افزایش میزان فرونشست‌ها، به پی ساختمان‌ها، باند فرودگاه‌ها، پل‌ها، تونل‌ها، خیابان‌ها، خطوط حمل و نقل ریلی و جاده‌ای، تأسیسات کشاورزی، تغییر در مسیر و جهت حرکت رودخانه‌ها و کانال‌ها و حاصلخیزی زمین‌های کشاورزی آسیب‌هایی وارد شده است و همچنین فرونشست‌ها سبب تخریب در الگوی جریان هیدرولوژی، کج‌شدگی و انحراف دکل‌های برق و ... شده‌اند. در این میان سازه‌هایی که دارای وسعت زیادتر و ارتفاع بیشتری هستند آسیب‌پذیری بیشتری دارند. به عنوان نمونه خطوط راه‌آهن، سدهای خاکی، کانال‌ها، دکل‌های برق و مخابراتی از آسیب‌پذیری زیادتری برخوردار هستند. پدیده فرونشست با ایجاد تغییر در وضعیت توپوگرافی منطقه می‌تواند سبب بروز تغییرات چشمگیری در هیدرولوژی منطقه شود، به عنوان مثال، در این مناطق ممکن است سیلاب‌های عظیم و مخربی به وقوع بپیوندد در حالی که قبل از ایجاد فرونشست از هیچ سابقه‌ای از وقوع سیلاب برخوردار نبوده است (شفیعی و همکاران، ۹۶: ۱۳۹۱). فرونشست باعث ایجاد ترک و شکاف‌هایی در زمین، تغییر در الگوی جریان‌های زیرزمینی و سطحی، تغییر کیفیت آب‌های زیرزمینی، تغییر شکل سطح زمین، سیل‌خیزی منطقه و ... می‌شود، به طوری که این تغییرات و عوامل خسارت جدی و جبران‌ناپذیری به مناطق شهری، صنعتی و کشاورزی وارد می‌کند. این پدیده به ویژه آسیب‌های جدی به سیستم‌های آبیاری مزارع و تجهیزات آبرسانی و چاه‌ها وارد می‌آورد. (ملک و برنا، ۱۳۹۷). فرونشست در میدان‌های نفتی می‌تواند تأثیرات مخربی از جمله شکستگی چاه‌ها، مچاله‌شدگی لوله‌های جداری و خسارات سرچاهی را به دنبال داشته باشد و در نتیجه فرآیند تولید از مخازن نفتی را با مشکل جدی مواجه کند (فتح‌اللهی و همکاران ۲۶: ۱۳۹۶).

استان فارس از جمله استان‌های پهناور واقع در جنوب کشور است که چند سال است با پدیده فرونشست زمین مواجه شده، به طوری که ۷۰ درصد از دشت‌هایش در معرض این پدیده قرار گرفته‌اند. ظهور این پدیده با خشک شدن

فصلنامه علمی - پژوهشی اطلاعات جغرافیایی (۲۸)

تحلیل عوامل مؤثر بر فرونشست در دشت سبزوار ... ۱۶۷/

میزان فرونشست در طی زمان‌های مشخص، تصاویر راداری در سال‌های اخیر برای مطالعه در خصوص مسائل دینامیکی از جمله جابه‌جایی‌های عمودی پوسته زمین مطرح است که از جمله می‌توان به پژوهش‌های متعدد اشاره نمود.

آمیغ‌پی و همکاران با مطالعه ده تصویر ENVISAT میزان فرونشست دشت مهیار جنوبی را ۰/۸ میلی‌متر در سال تعیین کردند (آمیغ‌پی و همکاران، ۱۳۹۱). در سال‌های ۱۳۹۳ و ۱۳۹۵ پهنه‌های متعددی در ایران از جمله یزد، دشت کرج - شهریار، دشت نوفق بهرمان، محدوده مناطق بیست و دو گانه شهر تهران از نظر فرونشست با به کارگیری تصاویر راداری موردمطالعه قرار گرفتند، همچنین وضعیت افت سطح آب‌های زیرزمینی و مخاطره فرونشست دشت خوی و میدان نفتی بزرگ مارون واقع در جنوب‌غرب ایران بررسی شدند (صفاری و همکاران، ۱۳۹۰: ۸۲؛ شریفی‌کیا، ۱۳۹۳: ۱۹۰). در سال ۱۳۹۶ میزان جابه‌جایی عمودی سطح زمین شهر تهران و دشت دشتیاری چابهار با استفاده از تصاویر راداری ASAR و SAR از ماهواره TERA و ENVISAT شد (زارع‌کمالی و همکاران، ۱۳۹۶، پاچرمنش و همکاران، ۱۳۹۵).

همچنین کردوانی و همکاران در سال ۱۳۹۶ از روش تداخل‌سنگی تفاضلی راداری استفاده نمودند تا در محدوده سد گتوند علیا به بررسی تغییرات زمانی کوتاه‌مدت و بلندمدت فرونشست بپردازند؛ و به این نتیجه رسیدند که حداکثر میزان فرونشست در محدوده موردمطالعه حدود سه‌ونیم سانتی‌متر در سال و حداکثر نرخ فرونشست در سازند گچساران و در محدوده معدن نمک عنبل است (هاشمی‌فرد و همکاران، ۱۳۹۶).

فتح‌الهی و همکاران (۱۳۹۶) به بررسی فرونشست زمین در اثر استخراج مواد نفتی در میدان نفتی مارون با استفاده از روش تداخل‌سنگی رادار پرداختند. در این تحقیق از ده تصویر سنجنده‌ی Envisat در بازه زمانی ۲۰۰۳ تا ۲۰۰۶ استفاده کردند. نتایج به دست‌آمده بیانگر کارایی مناسب این روش بهمنظور بررسی جابه‌جایی ناشی از فرونشست در میدان مذکور بود (فتح‌الهی و همکاران، ۱۳۹۶: ۲۳).

تقاطع بزرگراه آزادگان با آیت‌الله سعیدی (جاده قدیم ساوه روی داده است. بررسی‌های صورت‌گرفته افت سطح آب زیرزمینی در منطقه را عامل اصلی این پدیده اعلام کرده است (انگورانی و همکاران، ۱۳۹۴: ۲۱۱). همچنین در سطح دشت نیشابور شکاف‌های عدیده‌ای که در مناطقی چون مرکز دشت (بسرو و کاریزک) شرق (کلاته قبر) غرب (بازوبند) ناشی از فرونشست زمین ابجاد شده مشکلات عدیده‌ای برای ساکنین و زمین‌های کشاورزی به وجود آورده است. شکاف‌های غرب منطقه به دلیل نشست آب به درون آن‌ها و همچنین به دلیل تغییر شیب زمین مشکلات زیادی را برای کشاورزان به وجود آورده. در مرکز دشت شکاف‌هایی به عمق ۱۰ متر عرض ۸ متر و طول یک کیلومتر قابل مشاهده است که به دلیل عمق زیاد خطر سقوط انسان و دام را به وجود آورده است. وجود این شکاف‌ها باعث ایجاد خطر برای خطوط گاز و لوله‌های انتقال آب و خطوط ریلی خطر شده است (جلینی و همکاران ۱۳۹۷: ۷۶). در خصوص رابطه دو گانه تکتونیک و عوامل دیگر با فرونشست نیز پژوهشگران مطالعی را مطرح ساختند. از جمله: شایان و همکاران در سال ۱۳۹۵ با پهنه‌بندی فرونشست در حوضه قره‌چای همدان از طریق بررسی خصوصیات شبکه زهکشی و زمین‌شناسی به این نتیجه رسیدند که تغییرات ناهمسان در داده‌های مورفومتری شبکه زهکشی، عوامل لیتولوژیکی و انسانی به ترتیب از عوامل مؤثر در تشید افت آب‌های زیرزمینی و وقوع فرونشست در حوضه قره‌چای همدان بوده است (شایان و همکاران، ۱۳۹۷).

همچنین فرزین‌کیا و همکاران در سال ۱۳۹۸ به بررسی ارتباط فعالیت‌های تکتونیکی و تأثیر آن بر فرونشست زمین در حوضه آبریز دشت جوین با استفاده از شاخص‌های مورفومتری و تداخل‌سنگی راداری پرداختند و به این نتیجه رسیدند که پهنه‌هایی که میزان ۶ سانتی‌متر در سال فرونشست دارند در راستای ارتفاعات به صورت شرقی غربی قرار دارند (فرزین‌کیا و همکاران، ۱۳۹۱). در راستای ابزارهای مورداستفاده در تعیین پهنه‌ها و اندازه‌گیری دقیق

داده‌های ماهواره JERSI انجام شده‌اند (چن^۷ و همکاران، ۲۰۱۲؛ دامواه افاری^۸ و همکاران، ۲۰۰۱؛ جی^۹ و همکاران، ۲۰۱۰).

در ایراپواتا سیتی^{۱۰}، مکزیک تعداد زیادی چاهه‌ای کشاورزی و شهری وجود دارد که برداشت بیش از حد از این چاهه‌ها موجب فرونشست منطقه شده است. هجدید سیستم شکستی ناشی از فرونشست با طول کلی ۲۷ کیلومتر در منطقه یافت شده که به بیش از ۲۰۰ خانه خسارت وارد کرده است. به‌منظور تعیین میزان توزیع مکانی مزارع بر روی چاهه‌ها بهره‌برداری از روش تجزیه و تحلیل تصاویر دیجیتالی از یک حسگر ترا استر استفاده شد. این روش رابطه مکانی بین مزارع چاهه‌ها و شکستگی‌های ناشی از فرونشست را نشان داد (روذریگز^{۱۱} و همکاران، ۲۰۱۲؛ ۱۵۷: ۲۰۱۲).

در مکزیک، بررسی الگوی مکانی و زمانی فرونشست زمین در موریلیا^{۱۲}، وضعیت فرونشست در شهر مکزیکوستی (سیگنا^{۱۳} و سوتر^{۱۴}؛ ۲۰۱۷؛ عثمان اغلوب^{۱۵} و همکاران، ۲۰۱۰)، شهر تپیک^{۱۶} در سال ۲۰۱۴ توسط لئون^{۱۷} و همکارانش بررسی و با مطالعه روند فرونشست و عوامل طبیعی و انسانی مؤثر بر این پدیده و تأثیر فرونشست بر مناطق شهری، به این نتیجه رسیدند که با اینکه منطقه مورد مطالعه با فرونشستی با نرخ ۷/۷ سانتی‌متر در سال مواجه است اما هنوز به زیرساخت‌ها خسارتی وارد نشده است (لئون و همکاران، ۲۰۱۱).

از سال ۱۹۲۱ فرونشست در شانگ‌های چین گزارش شده است. از سال ۱۹۹۰ با افزایش استفاده از آب‌های زیرزمینی در این شهر فرونشست به تهدیدی برای زیرساخت‌هایی همچون پایه ساختمان‌های بلند تونل‌های مترو شهری بدل شد (لیو و همکاران ۲۰۱۹). باهدف ایجاد سیستمی مؤثر برای

و همکاران (۱۳۹۸) به ارزیابی تأثیر افت آب‌های زیرزمینی بر میزان فرونشست در دشت قزوین با استفاده از روش SBAS پرداختند که برای این منظور از تصاویر ستینل ۱ در بازه زمانی ۲۰۱۶ تا ۲۰۱۷ استفاده کردند. براساس نتایج بدست آمده از روش SBAS بالاترین میزان فرونشست (۲۱۶ میلی‌متر) مربوط به مناطق حاشیه‌ای شرق و غرب دشت قزوین بوده است (محمدخان و همکاران، ۱۳۹۸).

حق‌شناس حقیقی و همکار به بررسی فرونشست در دشت تهران در بازه زمانی ۲۰۱۷-۲۰۰۳ پرداختند. بررسی‌ها نشان داد حداکثر میزان فرونشست ۲۵ سانتی‌متر در سال، ۵ سانتی‌متر در نزدیکی فرودگاه IKA و ۲۲ سانتی‌متر در سال در شهرستان ورامین بود. تجزیه و تحلیل جابه‌جاوی‌های مشاهده شده همراه با اطلاعات بدست آمده از نقشه‌برداری زمین‌شناسی و بررسی سطح آب زیرزمینی در منطقه نشان داد که برداشت بیش از حد آب‌های زیرزمینی اصلی ترین علت تغییر شکل سطح زمین در منطقه مورد مطالعه است (حق‌شناس حقیقی و مطاق، ۲۰۱۹).

در سایر کشورها نیز تصاویر راداری در زمینه جابه‌جاوی پوسته زمین مورد استفاده قرار گرفته است. از جمله در کشور اسپانیا بررسی و اندازه‌گیری تغییر شکل زمین در مقطعی از رودخانه ابرو^{۱۸} (کاستانید^{۱۹} و همکاران، ۲۰۰۹) و در هند با مطالعه روند توسعهٔ فیزیکی شهر جاکارتا میزان فرونشست این شهر ۱۵ سانتی‌متر در سال در محدوده زمانی ۱۹۹۷ (آبیدین^{۲۰}؛ ۲۰۰۹) اندازه‌گیری شده است. در کشور چین پژوهش‌هایی مانند بررسی حرکات سطحی در مسیر راه‌آهن چینگ‌های^{۲۱} تبت با استفاده از تصاویر (Alos PALSAR) و (Envisat ASAR)، بررسی تغییر شکل زمین در نزدیکی راه‌آهن پکن-تیانجين^{۲۲} از تصاویر ماهواره ALOS و ENVI SAT و DEM (SRTM) psInSAR، مطالعه فرونشست در شانگ‌های^{۲۳} با استفاده از

7- Chen

8- Damoah-Afari

9- Ge

10- Irapuato City

11- Rodríguez

12- Morelia

13- Cigna

14- Sowter

15- Osmanoglu

16- Tepic

17- Leon

1- Ebro

2- Castañeda

3- Abidin

4- Qinghai

5- Beijing-Tianjin

6- Shanghai

فصلنامه علمی - پژوهشی اطلاعات جغرافیایی (جغرافیا)

تحلیل عوامل مؤثر بر فرونشست در دشت سبزوار ...

۱۰ میلی متر افزایش داشته ولی همچنان منطقه با خشکسالی مواجه است^۰. عدم برنامه ریزی صحیح، در استفاده از منابع آب زیرزمینی موجب شده است که در سال‌های اخیر با برداشت های بی‌رویه از آب‌های زیرزمینی در این دشت به عنوان یکی از مناطق بحرانی استان خراسان رضوی مطرح گردد (صالح‌آبادی، ۱۳۹۲). در چند سال اخیر مسئله فرونشست زمین در برخی نقاط شهر سبزوار به ویژه مرکز شهر به معضل بزرگ مدیریت شهری سبزوار مبدل شده است. - بررسی نقشه طرح جامع شهر سبزوار و انطباق آن با نقشه مسیر قنات‌ها و پدیده فرونشست و بالآمدگی آب نشان می‌دهد که بخش‌های مرکزی و بافت فرسوده شهر سبزوار که ۱۸۶ هکتار (۰٪) از کل مساحت شهر را شامل می‌شوند، بیشترین فرونشست را داشته‌اند، به عبارتی ۸۵ درصد نشت‌ها در این بافت رخداده است. شبکه حمل و نقل که بخش وسیعی از سطح شهر را پس از کاربری مسکونی به خود اختصاص می‌دهد، در پهنه خطر مستقیم واقع است. بررسی‌ها نشان می‌دهد که ۲۵ درصد از شبکه ارتباطی در امتداد یا مجاورت مسیر طولی قنات‌های سطح شهر احداث شده‌اند. تردد شبانه‌روزی وسایل نقلیه به ویژه در روز بر روی رسوبات سیست ریزدانه و ناپایدار زیرین خطر فرونشست را تشدید می‌کند (رحمی، ۱۳۹۷). افت سطح آب زیرزمینی باعث تراکم برگشت‌ناپذیر رسوبات ریزدانه و ایجاد شکاف‌ها در قسمت‌های جنوب‌غربی تا غرب دشت سبزوار شده است. این شکاف‌های کششی طولی در نتیجه افزایش خطی فرونشست از حاشیه ارتفاعات به سمت مرکز دشت به وجود آمده است عرض شکاف‌ها از چند سانتی‌متر تا حدکثر ۱/۵ متر متغیر بوده و دارای عمق حدکثر ۳ متر می‌باشند. بزرگ‌ترین شکاف حدود ۸۰۰ متر طول دارد و بازشده‌گی حدکثر ۱/۵ متر در فاصله ۶ کیلومتری جنوب‌غربی روستای روداب واقع است. در انتهای این شکاف‌ها، ترک‌ها کوچک‌تر و سوراخ‌های متعدد با عمق زیاد وجود دارد (باقریان کلات و همکاران، ۱۳۹۲:۲۱۲۶). شواهد میدانی آثار فرونشست را

تشخیص شکستگی‌های ناشی از فرونشست، پاول روترا^۱ و مورون^۲ به بررسی فرونشست ناشی از استخراج زغال‌سنگ با استفاده از سیستم‌های عصبی پیچیده پرداختند و برای این منظور از روش تداخل‌سنگی راداری استفاده کردند (روتر و مورون، ۲۰۲۰). سیگنا^۳ و تاپت^۴ به تغییر شکل زمین در چین (ژنگزو)، ژاپن (کیوتو واوزاکا)، کلمبیا (بوگاتا) و تونس پرداختند. در این پژوهش از تصاویر Landsat P-SBAS استفاده و علت این پدیده را پمپاژ آب‌های زیرزمینی برای مصارف شهری دانستند (سیگنا و تاپت، ۲۰۲۰). فرونشست از پدیده‌هایی است که بخش اعظم دشت‌ها و شهرهای ایران در مناطق خشک و نیمه‌خشک با آن مواجه می‌باشند. اکثریت محققین علت آن را برداشت بی‌رویه آب‌های زیرزمینی به‌دلیل استفاده در بخش‌های صنعت، کشاورزی و شرب می‌دانند. در چند دهه اخیر توسعه سریع کشاورزی و افزایش نیاز آبی باعث برداشت بی‌رویه و افت سطح آب زیرزمینی در دشت سبزوار شده است. در این راستا پدیده فرونشست سطح زمین در بخش‌های غربی دشت به‌طور محسوس به‌ویژه در جنوب‌غربی آن مشاهده می‌گردد. در پژوهش‌های متعدد علت فرونشست در سبزوار، افت شدید آب‌های زیرزمینی، عوامل تکتونیکی، وجود آبرفت ریزدانه در بستر آن، افزایش جمعیت شهری، برداشت بی‌رویه آب چاه‌های عمیق منطقه، گسترش شهرها بر روی قنات‌ها و افزایش نوسازی و بهسازی در منطقه ذکر شده است (باقریان کلات و همکاران، ۱۳۹۲). در چند دهه اخیر آب زیرزمینی این دشت حدود ۴۰۰ میلیون مترمکعب بوده که سالانه با حدود ۳۰ میلیون مترمکعب کسری مخزن مواجه است. متوسط افت سالانه سطح آب زیرزمینی دشت نزدیک به یک‌متر است (باقریان کلات، ۱۳۹۲: ۲۱۲۱). براساس تحلیل مقایسه‌ای بارش توسط اداره کل هواشناسی خراسان رضوی، در دو سال اخیر بارندگی در ایستگاه سبزوار

1- Rotter

2- Muron

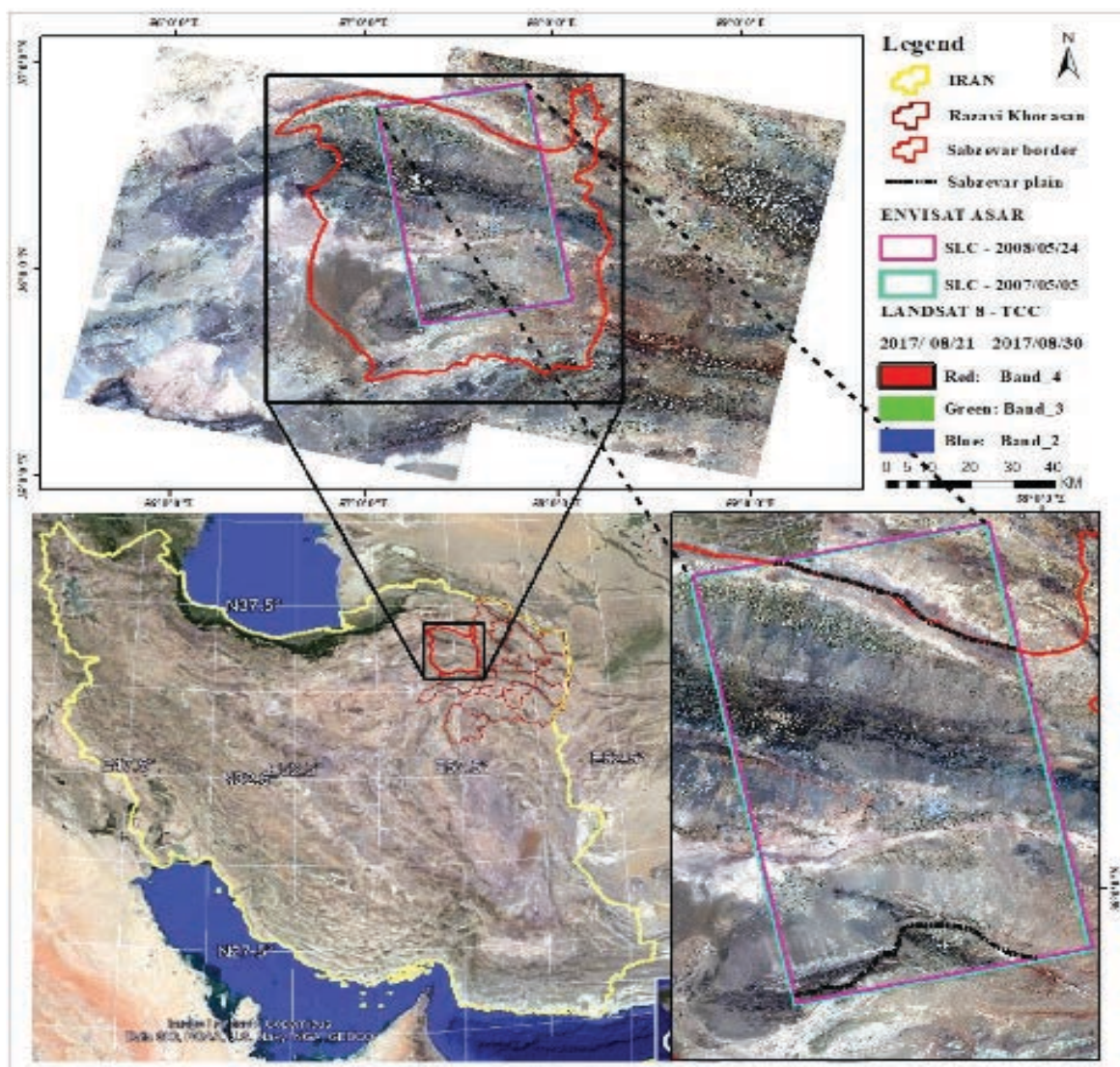
3- Cigna

4- Tapet

۲- منطقه مورد مطالعه

محدوده مورد مطالعه بین طول‌های غربی ۵۸ درجه و ۶۲ درجه تا ۵۷ درجه و ۵۴ دقیقه و عرض‌های شمالی ۳۵ درجه و ۵۱ دقیقه تا ۳۵ درجه و ۴۵ دقیقه قرار دارد. از نظر سیاسی شامل بخش‌هایی از شهرستان سبزوار است که قسمت‌هایی از بخش‌های خوشاب مرکزی (سبزوار) ششتمد روتاب داورزن جنتای و جوین را شامل است. در شمال با کوه‌های جفتای و در جنوب با کوه‌های کوه میش که امتداد کوه‌های هومس سمنان است محدود می‌شود (نگاره ۱). در مرکز

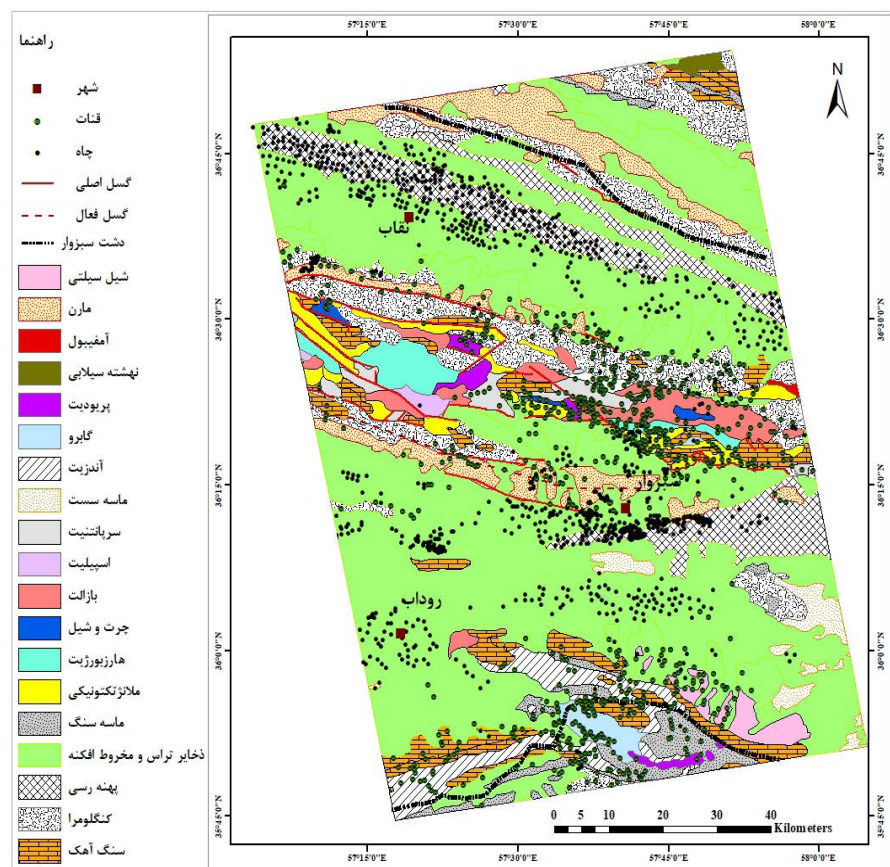
نشان می‌دهند. بررسی عوامل، ابعاد و علت ایجاد این پدیده هدف پژوهش حاضر است. به منظور بررسی عوامل ایجاد فرونشست در بازه زمانی (۲۰۰۴-۲۰۰۸) اطلاعات چاههای پیزومتری، قنات‌ها و گسل‌های منطقه و پراکندگی آن‌ها بررسی و برای پایش ابعاد و میزان فرونشست سالانه دشت سبزوار در این بازه و تعیین محدوده فرونشست، از تصاویر ماهواره‌ای و تکنیک تداخل‌سنگی راداری استفاده شد؛ که با تحلیل ارتباط بین این عوامل و ابعاد و میزان فرونشست عوامل تأثیرگذار در ایجاد این پدیده تعیین گردید.



نگاره ۱: محدوده مورد مطالعه در شهرستان سبزوار

فصلنامه علمی - پژوهشی اطلاعات جغرافیایی (GCR)

تحلیل عوامل مؤثر بر فرونشست در دشت سبزوار ... ۱۷۱ /



نگاره ۲: نقشه زمین‌شناسی محدوده
مورد مطالعه

محدوده، رودخانه کال‌شور سبزوار با جهت شرق به غرب دریافت شده از سازمان فضایی اروپا (ESA)^۱ است. اطلاعات مداری از فایل حاوی اطلاعات برداشتی ماهواره DORIS از آژانس فضایی اروپا VOR – DORIS استفاده شد. مشخصات داده‌های راداری مورداستفاده در جدول ۱ قابل مشاهده است. پردازش تصاویر راداری شهرستان سبزوار با کمک نرم‌افزار SARSCAPE طی مراحل اصلی زیر انجام شد:

مرحله ۱- تبدیل تصاویر به فرمت استاندارد sarscape پردازش. اطلاعات مداری با استفاده از فایل DOR – VOR که حاوی اطلاعات برداشتی ماهواره DORIS از آژانس فضایی اروپا، جهت اصلاح اعوجاج تصاویر استفاده شد.

مرحله ۲- تطابق دو تصویر SLC نسبت به هم؛ در این مرحله خط مبنای تداخل‌سنگی محاسبه شد و تصاویر از نظر خط مبنای مکانی بررسی شدند. که در این مرحله خط مبنای زوج تصاویر مناسب بودند. بدین ترتیب دو

جریان دارد. از نظر اقلیمی دارای آب و هوای نیمه‌خشک تا خشک است و از لحاظ زمین‌شناسی در حدفاصل دو زون زمین‌شناسی البرز شرقی در شمال و ایران مرکزی در جنوب حد فاصل رشته‌کوه‌های البرز شرقی و گسل سبزوار واقع شده است. سازندها و واحدهای زمین‌شناسی مربوط به تمامی دوره‌ها از دوران اول تا دوران چهارم و آبرفت‌های عصر حاضر در گستره این حوضه مشاهده می‌شود (نگاره ۲).

۳- مواد و روش

۱-۳. تصاویر راداری ماهواره انویست سنجنده ASAR داده‌های راداری مورد استفاده در این پژوهش شامل شش تصویر SLC باند C ماهواره انویست سنجنده ASAR است. این تصاویر مربوط به ماههای زوئن، می، اکتبر و دسامبر در بازه زمانی ۲۰۰۴ تا ۲۰۰۸ با طول موج ۵/۶ سانتی‌متر

جدول ۱: مشخصات تصاویر راداری مورد استفاده

Date	Track	Frame	Orbit	Pass	Polarization	Sensor
ASA_IMS_1PNESA20041002	471	711	13551	Ascending	VV	Asar
ASA_IMS_1PNESA20060624	471	711	22569	Ascending	VV	Asar
ASA_IMS_1PNESA20070505	471	711	27078	Ascending	VV	Asar
ASA_IMS_1PNESA20080524	471	711	32589	Ascending	VV	Asar

جدول ۲: مشخصات ایترفروگرام‌های پردازش شده در منطقه مطالعاتی

خط مبنای مکانی (m)	ابهام ارتفاعی (m)	تصویر قدیم (master)	تصویر جدید (slave)	کد ایترفروگرام
۵۳۵/۳۳۴	۳۴/۵۲۳	۲۰۰۴/۱۰/۰۲	۲۰۰۸/۰۵/۲۴	a
۴۷۱/۶۱۷	۳۹/۱۹۷	۲۰۰۶/۰۶/۲۴	۲۰۰۷/۰۵/۰۵	b
۱۵۸/۳۱۹	۱۱۶/۷۵۳	۲۰۰۷/۰۵/۰۵	۲۰۰۸/۰۵/۲۴	c

انتخابابی است. به این ترتیب قسمت اعظم تأثیر توپوگرافی در ایجاد اختلاف فاز تصاویر حذف می‌شود. بدین منظور، اثر توپوگرافی با استفاده از مدل ارتفاعی (SRTM DEM) باقدرت تفکیک مکانی ۹۰ متر از تصاویر حذف شد. در این مرحله با استفاده از مدل ارتفاعی از دو تصویر ورودی یک تداخل نمای مختلط و تصویر شدت سیگنال بازگشتی که با یکدیگر از نظر هندسی منطبق هستند تولید شد. ایترفروگرام همان تصویر حاصل از اختلاف فاز دو تصویر رادار است که بیانگر تغییرات می‌باشد. مسطح‌سازی ایترفروگرام‌ها؛ به منظور حذف مؤلفه فازی ناشی از اثرات توپوگرافی، با استفاده از این مدل ارتفاعی انجام شد.

مرحله ۴- سه ایترفروگرام حاصل از مرحله قبل، حاوی نویزهایی است که درنتیجه اختلاف زمانی^۶ دریافت دو تصویر و همچنین وجود اختلاف خط مبنای مکانی^۷ به وجود آمده است.

برای کاهش این نویزها بر روی تصاویر فیلتر اعمال شد که در این پژوهش از فیلتر آداتیو^۸ استفاده شد. نگاره ۳، ایترفروگرام پردازش شده با فیلتر آداتی مربوط به دوره زمانی ۲۰۰۸-۲۰۰۴ را نشان می‌دهد.

تصویر slc که از نظر هندسی با یکدیگر منطبق بودند آماده ورود به تشکیل تداخل نما شدند. به منظور ثبت هندسی^۱ تصاویر، یکی از آن‌ها به عنوان تصویر مرجع^۲ و سایر تصاویر به عنوان تصاویر تابع^۳ در نظر گرفته شد و تصاویر دو به دو نسبت به هم به دقت ثبت هندسی^۴ شدند. از طریق ترکیب هر دو تصویری که نسبت به هم ثبت هندسی شده‌اند یک ایترفروگرام تهیه شد.

جدول ۲، مشخصات ایترفروگرام‌ها را نشان می‌دهد. فاز تداخل سنجی شامل اثرات توپوگرافی (φ_{TOPO})، حرکت پوسته زمین (φ_{displ})، اثرات متغیر اتمسفر (φ_{atm}) بین مشاهدات و نویز (φ_{noise}) است (روستایی و همکاران، ۱۳۹۲) که آن را می‌توان به صورت رابطه ۱ نشان داد.

$$\text{رابطه ۱: } \varphi_{int} = \varphi_{topo} + \varphi_{displ} + \varphi_{atm} + \varphi_{nois}$$

مرحله ۳- برای استخراج میزان جابه‌جای سطح باید تمام اثرات دیگر از ایترفروگرام‌ها حذف شود. اولین قدم حذف مؤلفه توپوگرافی است و ساده‌ترین روش برای مقابله با آن، به حداقل رساندن خط مبنای عمودی^۵ زوج تصویر

6- temporal baseline

7- spatial baseline

8- adaptive

1- Co-registration

2- Master

3- Slave

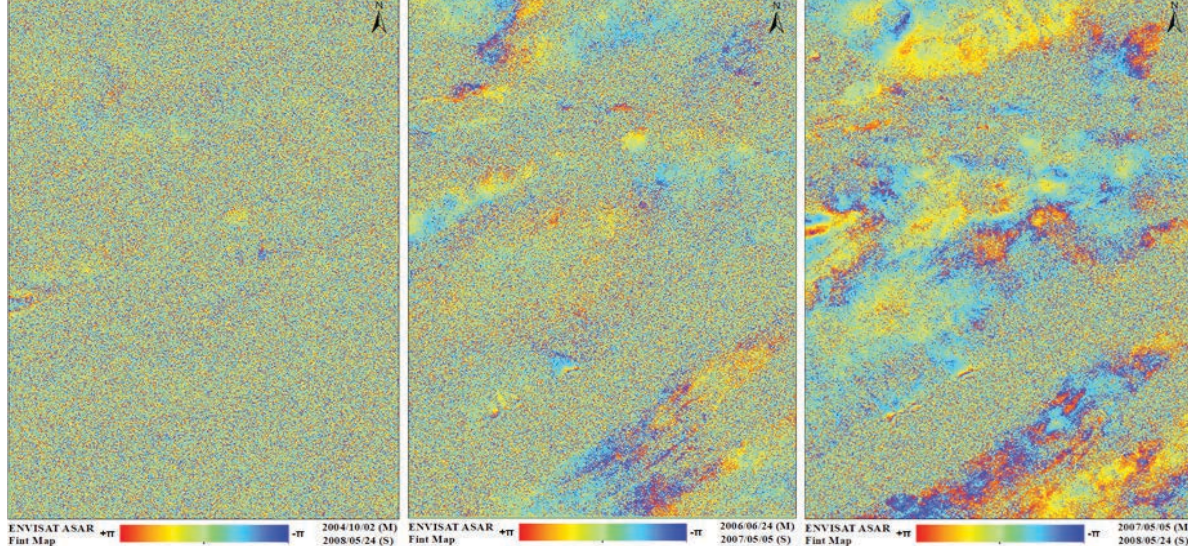
4- Co-Register

5- Perpendicular Baseline

فصلنامه علمی - پژوهشی اطلاعات جغرافیایی (جغرافیا)

تحلیل عوامل مؤثر بر فرونشست در دشت سبزوار ...

۱۷۳/



نگاره ۳: اینترفروگرام‌های پردازش شده با فیلتر Adapt مربوط به دوره زمانی ۲۰۰۸-۲۰۰۴ که به ترتیب از چپ به راست عبارتند از: اینترفروگرام مربوط به بازه زمانی ۲۰۰۴/۱۰/۰۲ تا ۲۰۰۸/۰۵/۲۴ (۱۳۱۱ روز)، اینترفروگرام مربوط به بازه زمانی ۲۰۰۷/۰۵/۰۵ تا ۲۰۰۷/۰۶/۲۴ (۳۱۵ روز)، اینترفروگرام مربوط به زمان ۲۰۰۷/۰۵/۰۵ تا ۲۰۰۸/۰۵/۲۴ (۳۸۵ روز) است.

مرحله ۵- مرحله بازکردن فاز^۱، فاز کالیبراسیون مطلق و تسطیح‌سازی دوباره اینترفروگرام ایجاد شد.
مرحله ۶- مرحله اصلاح و تسطیح سازی دوباره^۲، این مرحله برای تبدیل صحیح اطلاعات فاز باز شده به مقادیر ارتفاع (یا جابه‌جایی) بسیار مهم است. این امکان را برای اصلاح مدارها (به عنوان مثال اصلاح خطاهای احتمالی) و محاسبه جابه‌جایی فاز (به دست آوردن مقادیر مطلق فاز) یا حذف رمپ‌های احتمالی فاز فراهم می‌کند.

مرحله ۷- مرحله تبدیل فاز به تصویر جابه‌جایی؛ برای تولید نقشه جابه‌جایی مقادیر فاز به جابه‌جایی تبدیل شده و بر روی یک نقشه کدگذاری می‌شود.

مرحله ۸- پهن‌بندی تصویر جابه‌جایی، تصویر محدوده مورد مطالعه در بازه زمانی ۲۰۰۷ تا ۲۰۰۸ پهن‌بندی شده و میزان فرونشست مشخص شد.

مرحله ۹- سطح آب منطقه مطالعاتی
 به منظور استخراج نقشه سطح آب منطقه، آمار سطح تراز آب‌های زیرزمینی از سازمان آب منطقه‌ای استان محدوده شیب فاصله پیکسل (زاویه برخورد محلی) sin

رابطه ۲ :

مرحله ۱۰- مرحله ایجاد نقطه کنترل زمین^۳ (در قالب xml یا شکل) که به عنوان ورودی برای فرآیند اصلاح و

1-Phase unwrapping

2- Holecz

3- Ground Control Point

بازه زمانی ۲۰۰۸/۰۵/۲۴ - ۲۰۰۴/۱۰/۰۲ با فاصله زمانی ۱۳۱ روز، سطحی از هیستوگرام با میزان کوهرنسی در رنج ۰/۲ - ۰/۰ را دارا است. از طرفی خط مبنای مکانی آن ۵۳۵/۳۳۴(متر) است.

میزان کوهرنسی در بازه زمانی ۲۰۰۸/۰۵/۲۴ - ۲۰۰۷/۰۵/۰۵ با فاصله زمانی ۳۸۵ روز، در محدوده میزان کوهرنسی ۰/۶ - ۰/۰ بیشترین سطح (فراوانی پیکسل) را دارد. همچنین در بازه زمانی ۲۰۰۷/۰۵/۰۵ - ۲۰۰۶/۰۶/۲۴ با فاصله زمانی ۳۱۵ روز و خط مبنای مکانی (۴۷۱/۶۱۷)، در محدوده میزان کوهرنسی ۰/۶ - ۰/۰ بیشترین سطح (فراوانی پیکسل) را دارد (جدول ۳).

از ۳ ایترفوگرام استخراج شده در این پژوهش، در بازه‌های زمانی کمتر از یک سال، بازه زمانی بیشتر از یک سال و ۳/۵ سال، از ۲۰۰۸ - ۲۰۰۴ است. پس از بررسی تصاویر مربوط به بازه زمانی ۲۰۰۸/۰۵/۲۴ - ۲۰۰۴/۱۰/۰۲ مشخص شد که تصویر اخیر علاوه بر خط مبنای زمانی ۱۳۱(روز) زیاد، خط مبنای مکانی (۵۳۵/۳۳۴) بیشتری نسبت به تصاویر دیگر دارا بوده و از میزان همدوسي کمتری نسبت به دو ایترفوگرام دیگر برخوردار است؛ بنابراین تصویر اخیر به منظور تجزیه تحلیل و میزان فرونشست در منطقه انتخاب شد. نقشه تغییر شکل تهیه شده مربوط به بازه زمانی ۲۰۰۸/۰۵/۲۴ - ۲۰۰۷/۰۵/۰۵ نشان داد، بیشترین فرونشست در شمال شرق منطقه رخداده است.

نقشه تغییر شکل مربوط به این بازه زمانی نشان دهنده نرخ بالای فرونشست در این بازه زمانی کوتاه در منطقه است (نگاره ۴). همان‌گونه که نقشه اخیر نشان می‌دهد حداقل فرونشست در سمت شمال شرقی محدوده موردمطالعه قرار دارد و جهت فرونشست جنوب غربی و شمال شرقی است. درواقع از پای دامنه‌های کوهستان میش شروع می‌شود تا پای دامنه‌های کوه جغتای افزایش می‌یابد و شهرهای داخلی از جمله شهر سبزوار با میانگین نشست حدود ۱۰ سانتی متر مواجه است. با توجه به این‌که بازه فرونشست بخش‌هایی از سال‌های ۱۳۸۶ و ۱۳۸۷ را شامل می‌شود، برای مقایسه نتایج

خراسان رضوی و همچنین اطلاعات آمار میزان عمق و سطح تراز آب زیرزمینی چاه‌های شهرستان سبزوار مطابق با سال‌های تصاویر راداری دوره آماری ۱۳۸۷-۱۳۸۲ تهیه شد.

برای بررسی درازمدت، اطلاعات بازه زمانی ۱۳۹۲-۱۳۵۲ از وزارت نیرو شرکت آب منطقه‌ای استان تهیه شد. اطلاعات مربوط به چاه‌ها و قنات‌های منطقه برای بررسی میزان فرونشست، از شهرداری سبزوار تهیه شد.

به منظور برآورد میزان افت آب‌های زیرزمینی و مطالعه میزان فرونشست حاصل از آن، آمار میزان عمق و سطح تراز آب‌های زیرزمینی ۸۸ چاه پیزومتری سبزوار، در دوره آماری ۱۳۵۲-۱۳۹۳ از شرکت آب منطقه‌ای استان تهیه شد.

سپس برای پی بردن به سطح آب در دو دوره درازمدت ۱۳۵۲-۱۳۹۳ و هم‌زمان با دوره‌ای که تصاویر انویست موجود بود، نقشه سطح آب تهیه شده است. به این منظور داده‌های سطح آب زیرزمینی به صورت نقاط با مختصات مشاهده‌ای و Z ارتفاع سطح ایستابی نسبت به یک سطح مبدأ (XYZ) مورداستفاده قرار گرفت؛ X و Y مختصات چاه‌های مشاهده‌ای و Z ارتفاع سطح ایستابی نسبت به یک سطح مبدأ (معمولًاً میانگین سطح دریا) در نظر گرفته شده است و سپس توسط روش IDW¹ با محاسبه توان بهینه، سطح آب چاه‌های پیزومتری درون‌یابی شده است.

۳-۳. تطبیق سطوح پیزومتری و فرونشست

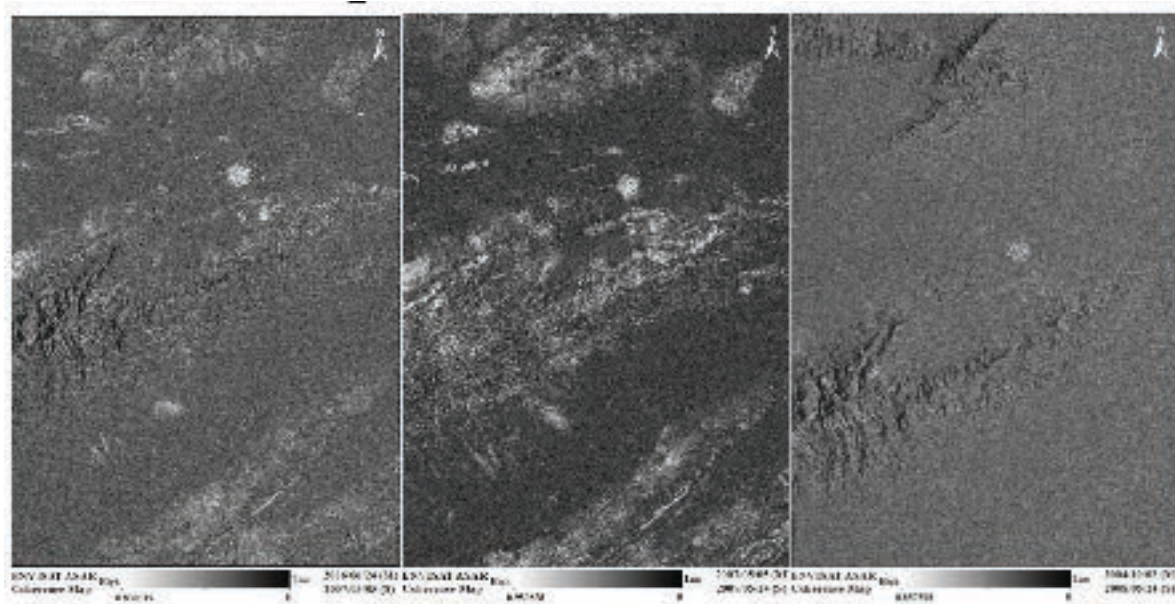
در پژوهش اخیر برای بررسی رابطه بین پراکنش فضایی فرونشست و موقعیت چاه‌ها، قنات‌ها و گسل‌ها نیز از روش‌های همپوشانی استفاده شد. همچنین در مرحله بعد با همپوشانی سطوح پیزومتری و فرونشست در منطقه مطالعاتی میزان تغییرات و عوامل مؤثر آن بررسی شده است.

۴- یافته‌ها

در این تحقیق تصاویر کوهرنسی که طی پردازش ایجاد شده‌اند، برای دوره‌های زمانی ۲۰۰۴ تا ۲۰۰۸ موردنبررسی قرار گرفته‌اند (نگاره ۴). میزان کوهرنسی در

فصلنامه علمی - پژوهشی اطلاعات جغرافیایی (میر)

تحلیل عوامل مؤثر بر فرونشست در دشت سبزوار ... ۱۷۵ / ۲۰۰۴



نگاره ۴: تصاویر کوهنهنسی مربوط به بازه زمانی ۲۰۰۴ - ۲۰۰۸ منطقه مطالعاتی

یک دهه دارد که می‌توان علت آن را در استفاده بیش از حد آب‌های زیرزمینی جستجو نمود (نگاره ۵). برای بررسی رابطه فضایی قنات، چاهها و گسلهای گسلهای حاصل از تداخل سنگی و همپوشانی آن‌ها با فرونشست در محدوده مورد مطالعه استفاده شده است.

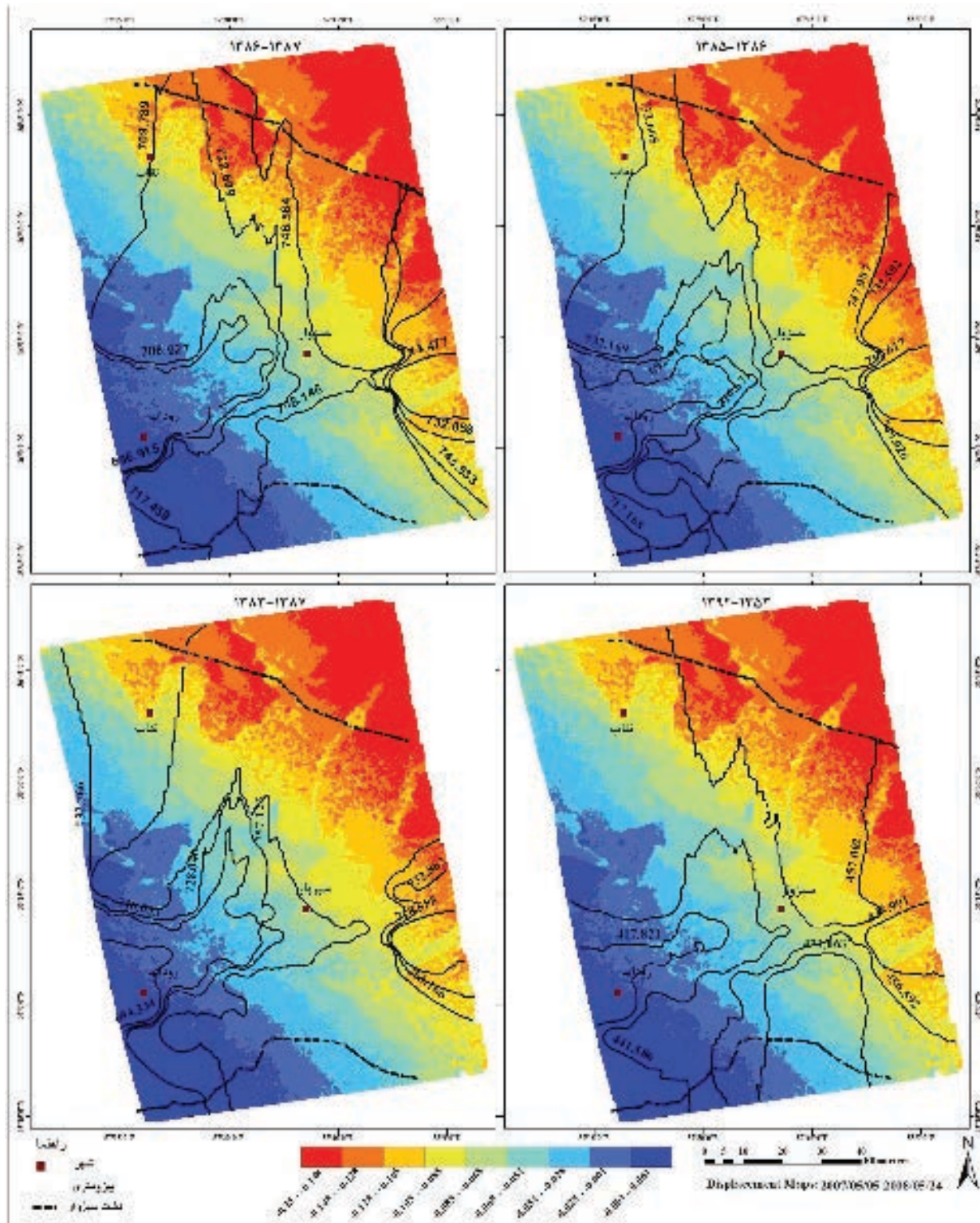
نگاره ۶، پراکنش فضایی گسلهای چاهها و ظاهر قنات‌ها را نشان می‌دهد. نتایج نشان داد که در بازه زمانی ۲۰۰۷-۲۰۰۸ میزان فرونشست از ۱/۴ میلی متر تا ۱/۸ میلی متر تغییر می‌کند. روند حرکت فرونشست از جنوب غرب به سمت شمال شرق است؛ و بخشی زیادی از چاهها در ارتباط با فرونشست هستند.

فرونشست با سطح آب‌های زیرزمینی از آمار دوره‌های ۱۳۸۵-۱۳۸۶، ۱۳۸۶-۱۳۸۷، برای مطالعه هم زمانی فرونشست و سطح آب‌های زیرزمینی، بازه ۱۳۸۳-۱۳۸۷ برای مقایسه دوره‌ای آب‌های زیرزمینی و فرونشست و برای مقایسه کل دوره آماری از بازه ۱۳۵۳-۱۳۹۲ استفاده شده است. نتایج حاصل از درونیابی نشان می‌دهد که در هر

چهار بازه پایین رفتن سطح آب‌های زیرزمینی از غرب به شرق رو به افزایش است. هنگامی که دوره آماری طولانی تر می‌شود این پدیده تشدید می‌شود که بیانگر این است که اولاً در پهنه هموار دشت سبزوار با افزایش میزان فرونشست، پایین رفتن سطح آب‌های زیرزمینی رو به افزایش است و پدیده فرونشست در منطقه موردن مطالعه عمر بیش از

جدول ۳: اطلاعات آماری موردن بررسی هر یک از تصاویر از نظر کوهنهنسی

کد	تصاویر کوهنهنسی بازه زمانی ۲۰۰۴-۲۰۱۱	بیشینه	کمینه	میانگین	معیار انحراف	خط زمانی (روز)	خط مبنای مکانی (متر)	توزع مقادیر کوهنهنسی	مقدار کوهنهنسی بیشترین فراوانی
a	۲۰۰۴/۱۰/۰۲ - ۲۰۰۸/۰۵/۲۴	۰/۹۵	۰/۱۴	۰/۰۷	۱۳۱۱	۵۳۵/۳۳۴	۰/۲-۰/۴	۰/۲-۰/۴	۰/۲-۰/۴
b	۲۰۰۶/۰۶/۲۴ - ۲۰۰۷/۰۵/۰۵	۰/۹۵	۰/۱۷	۰/۰۷	۳۱۵	۴۷۱/۶۱۷	۰/۲-۰/۶	۰/۲-۰/۶	۰/۲-۰/۴
c	۲۰۰۷/۰۵/۰۵ - ۲۰۰۸/۰۵/۲۴	۰/۹۸	۰/۲۰	۰/۰۹	۳۸۵	۱۵۸/۳۱۹	۰/۲-۰/۶	۰/۲-۰/۶	۰/۲-۰/۴

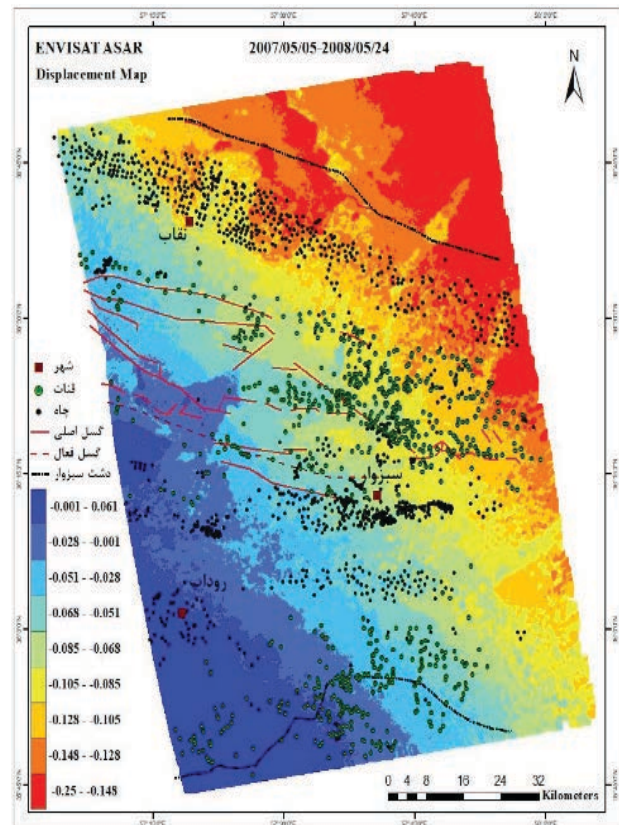


نگاره ۵: میزان فرونشست در بازه زمانی ۱۳۹۲-۱۳۸۳ و ۱۳۸۳-۱۳۸۴ و
 تطابق با تراز آب‌های زیرزمینی در دوره‌های آماری

فصلنامه علمی - پژوهشی اطلاعات جغرافیایی (جغرافیا)

تحلیل عوامل مؤثر بر فرونشست در دشت سبزوار ... ۱۷۷/

آن فیلتر آدپتیو بر روی آن اعمال شد و پس از انجام سایر عملیات از جمله بازکردن فاز اصلاح ، تسطیح سازی دوباره و تهیه نقشه جابه جایی، بازه زمانی ۲۰۰۷ تا ۲۰۰۸ به دلیل میزان همدوسی کمتر انتخاب شد و میزان فرونشست محاسبه شد. در این بازه زمانی یک ساله بیشترین فرونشست در سمت شمال شرقی در پای دامنه های کوه جغتای قرار دارد. با توجه به جهت شمال شرقی - جنوب غربی فرونشست این طور به نظر می رسد که منطقه پست بین کوهستان میش و جغتای در معرض خطر هستند. بیشتر شهرهای کوچک و بزرگ از جمله سبزوار نیز در این منطقه قرار دارند و در گیر پدیده فرونشست قرار دارند. ۱۰ سانتیمتر فرونشست برای یک سال میزان قابل ملاحظه ای می باشد. با توجه به این که مقایسه همزمان یک ساله بین سطح آب های زیرزمینی و فرونشست نمی تواند گویای وضعیت منطقه باشد لذا برای بررسی دقیق تر رابطه فرونشست و برداشت آب های زیرزمینی، از آمار سطح تراز آب های زیرزمینی ۸۸ چاه پیزومتری در دوره های ۱۳۸۵-۱۳۸۶، ۱۳۸۶-۱۳۸۷، ۱۳۸۷-۱۳۸۸ و ۱۳۹۲-۱۳۵۳ استفاده شده است. نتایج حاصله بیانگر کاهش سطح آب های زیرزمینی از غرب به شرق می باشد و هر چه بازه زمانی طولانی تر می شود این پدیده تشدید می شود و در نتیجه پدیده فرونشست در منطقه مورد مطالعه جدید نیست و قدمت بیش از یک دهه دارد. به طور کلی ارتباط بین فرونشست و سطح آب های زیرزمینی معنی دار است زیرا سطح آب های زیرزمینی به سمت شرق و تا حدودی شمال شرق که محدوده حداقل فرونشست است، کاهش می یابد. مقایسه پراکنش چاه ها و فرونشست نشان می دهد که بیشترین تراکم چاه ها با حداقل فرونشست تطابق دارد، بنابراین موقعیت چاه ها تا حدودی در فرونشست مؤثر است. بین پراکنش مظہر قنات ها و روند فرونشست ارتباطی نیست. احتمال دارد که دلیل آن متروک بودن قنات ها و عدم استفاده از آن ها می باشد. نتایج حاصل از همپوشانی گسل ها و میزان فرونشست نشان می دهد که به دلیل عمود بودن روند گسل ها بر جهت فرونشست،



نگاره ۶: پراکنش فضایی گسلهای چاهها، چاهها و مظہر قنات

محدوده های شهری بین ۸ الی ۱۰ سانتیمتر پایین رفته اند. در نوار افیولیتی شمال غرب - غرب دشت سبزوار با ترکیب سنگ شناسی آندزیت، گدازه های بازالتی، توف و مارن های حاوی گچ، گسل های اصلی منطقه قرار دارند. گسل های فعال نیز در قسمت غرب محدوده موردمطالعه و بر روی سازندهایی چون کنگلومرا و ماسه سنگ، مارن قرمز و مارن حاوی گچ قرار دارد. روند گسل ها عمود بر جهت فرونشست بوده که بیانگر نقش آن ها در جابه جایی عمودی رو به پایین است که احتمالاً گسل ها به تغذیه آبخوان کمک می کنند.

۵- نتیجه گیری

در این پژوهش نتایج ایتر فروگرام ها که در بازه زمانی سه ساله تهیه شده بود دارای نویز زیادی بود و برای رفع

- ۵- تورانی، آق اتابای، روستایی؛ مرجان، مریم، مه آسا. (۱۳۹۷)، مطالعه فرونشست در غرب استان گلستان با استفاده از روش تداخل‌سنگی راداری، مجله آمایش جغرافیایی فضا، فصلنامه علمی- پژوهشی دانشگاه گلستان، سال ۸، شماره ۲۷، ۱۱۷-۱۲۸.
- ۶- جلینی، سپهر، لشکری‌پور، راشکی؛ مریم، سپهر، غلامرضا، علیرضا. (۱۳۹۶)، بررسی همبستگی مورفومتری ترک‌های حاصل از فرونشست با تغییرپذیری ادافیک در دشت نیشابور، پژوهش‌های ژئومورفولوژی کمی، سال ۵، شماره ۴، صص ۵۹-۷۵.
- ۷- زارع‌کمالی، حسینی‌مدرسی، نقدی؛ مجتبی، علی، کریم. (۱۳۹۶)، مقایسه میزان جابه‌جایی عمودی زمین با استفاده از الگوریتم SBAS در باندهای راداری X و C، مجله سنجش‌از دور و سامانه اطلاعات جغرافیایی، سال ۸، شماره ۳، صص ۱۰۴-۱۲۰.
- ۸- شایان، یمانی، یادگاری؛ سیاوش، مجتبی، منیزه. (۱۳۹۵)، پهنه‌بندی فرونشست زمین در حوضه آبخیز قره‌چای همدان، هیدر و ژئومورفولوژی، شماره ۹، صص ۱۳۹-۱۵۸.
- ۹- شریفی‌کیا، افضلی، شایان؛ محمد، عباسعلی، سیاوش. (۱۳۹۴)، استخراج و ارزیابی اثرات پدیده‌های ژئومورفیک ناشی از فرونشست در دشت دامغان، پژوهش‌های ژئومورفولوژی کمی، سال چهارم، شماره ۲، صص ۶۰-۷۴.
- ۱۰- شفیعی، مختاری، امیر احمدی، زندی؛ نجمه، لیلا گلی، ابوالقاسم، رحمان. (۱۳۹۹)، بررسی فرونشست آبخوان دشت نورآباد با استفاده از روش تداخل‌سنگی راداری، پژوهش‌های ژئومورفولوژی کمی، سال ۸، شماره ۴، صص ۹۳-۱۱۱.
- ۱۱- شیرانی، سیف، شریفی‌کیا؛ کورش، عبدالله، محمد. ASAR (۱۳۹۳)، ارزیابی کارایی سنجنده‌های PALSAR و به کمک تداخل‌سنگی تفاضلی در شناسایی و پایش زمین‌لغزش‌ها در زاگرس، نشریه علمی- پژوهشی مهندسی و مدیریت آبخیز، جلد ۶، شماره ۳، صص ۲۸۸-۳۰۱.
- ۱۲- صفاری، جعفری، توکلی صبور؛ امیر، فرهاد، محمد. جامع بحران، صص ۱۴-۱۵.
- احتمالاً سبب جابه‌جایی عمودی رو به پایین می‌شود. بنابراین به طورکلی مهم‌ترین عامل در رخداد فرونشست در این منطقه کاهش سطح آب‌های زیرزمینی است. پراکنش چاهه‌ها و گسل‌ها نیز به عنوان عوامل ثانوی در این پدیده مؤثر هستند. نقش گسل‌ها به دلیل عمود بودن سطح فرونشست با جهت آن‌ها می‌تواند نقش تشدیدکننده‌گی داشته باشد به عبارت دیگر هرچقدر سطح آب‌های زیرزمینی در این منطقه کاهش یابد با یک ضریب افزایشی، پدیده فرونشست رخ می‌دهد. محدوده فرونشست در پای کوههای جفتای قرار دارد و از مناطقی است که از نظر توسعه کشاورزی رشد داشته و سرانه با افزایش نیاز آبی مواجه است که احتمالاً مشکلات بیشتری در آینده مواجه خواهد شد.
- ## ۶- منابع و مأخذ
- ۱- آمیغ پی، عربی؛ معصومه، سیاوش. (۱۳۸۸)، گزارش طرح پژوهشی بررسی فرونشست یزد با استفاده از تکنیک تداخل‌سنگی راداری و ترازیابی دقیق، سازمان نقشه‌برداری کشور، صص ۱۵۷-۱۶۴.
 - ۲- انگورانی، معماریان، شریعت‌پناهی، بلورچی؛ سعید، حسین، مسعود، محمدجواد. (۱۳۹۴)، مدل‌سازی پویای فرونشست دشت تهران، علوم‌زمین، سال ۲۵، شماره ۹۷، صص ۲۱۱ تا ۲۲۲.
 - ۳- باقریان کلات، لشکری‌پور، غفوری؛ پژمان، علی، غلامرضا محمد، حسین. (۱۳۹۲)، بررسی نشت زمین و ایجاد شکاف در دشت سبزوار، هشتمین همایش انجمن زمین‌شناسی مهندسی و محیط‌زیست ایران، دانشگاه فردوسی، پانزده و شانزده آبان، صص ۲۱۲۹-۲۱۲۱.
 - ۴- باقری‌منش، معتق، اکبری؛ شادی سادات، مهدی، بهمن. (۱۳۹۵)، بررسی فرونشست ناشی از پدیده فرسایش خندقی در دشت دشتیاری شهرستان چابهار با استفاده از روش تداخل‌سنگی تفاضلی راداری و با به‌کارگیری تصاویر سنجنده ENVISAT، هشتمین کنفرانس بین‌المللی مدیریت جامع بحران، صص ۱۴-۱۵.

فصلنامه علمی - پژوهشی اطلاعات جغرافیایی (سپهر)

تحلیل عوامل مؤثر بر فرونشست در دشت سبزوار ... ۱۷۹ /

- شهرام، محمد، مه آسا. (۱۳۹۴)، شناسایی و پایش ناپایداری دامنه‌ای به روش پردازش اینترفرامتری تفاضلی مطالعه موردي: حوضه آبریز گرمی چای میانه، پژوهش‌های ژئومورفولوژی کمی، سال سوم، شماره ۴، صص ۴۴-۵۹.
- 20- Abidin, H. Z., Andreas, H., Gumilar, I., Jamal, M., Fukuda, Y., & Deguchi, T. (2009). Land Subsidence and Urban Development in Jakarta (Indonesia). 7th FIG Regional Conference, Spatial Data Serving People: Land Governance and the Environment – Building the Capacity Hanoi, Vietnam, 19-22.
- 21- Aly, M. H., Klein, A. G., Zebker, H. A., & Giardino, J. R. (2012). Land subsidence in the Nile Delta of Egypt observed by persistent scatterer interferometry. *Remote Sensing Letters*, 3(7), 621–630.
- 22- Castaneda, C., Gutierrez, F., Michele, M., & Galve, J. (2009). DInSAR measurements of ground deformation by sinkholes, mining subsidence, and landslides, Ebro River, Spain. *Earth Surface Processes and Landforms*, 34 (11), 1562–1574.
- 23- Castellazzi, P., Garfias, J., Martel, R., Brouard, C., & Rivera, A. (2017). InSAR to support sustainable urbanization over compacting aquifers: The case of Toluca Valley, Mexico. *International Journal of Applied Earth Observation and Geoinformation*, 63, 33–44.
- 24- Chen, F., Lin, H. Li, Z., Chen, Q., & Zhou, J. (2012). Interaction between permafrost and infrastructure along the Qinghai-Tibet Railway detected via jointly analysis of C – and L- band small baseline SAR interferometry. *Remote Sensing of Environment*, 123, 532-540.
- 25- Cigna, F., & Sowter, A. (2017). The relationship between intermittent coherence and precision of ISBAS InSAR ground motion velocities: ERS-1/2 case studies in the UK. *Remote Sensing of Environment*, 202, 177-198.
- 26- Cigna, F., & Tapete, D. (2020). Mapping Land Subsidence in Urban Areas Using Esa's G-POD and the P-SBAS Insar Technique: Examples in Asia, South America and North Africa. 2020 Mediterranean and Middle-East Geoscience and Remote Sensing Symposium (M2GARSS), 223–226.
- 27- Costantini, M., Ferretti, A., Minati, F., Falco, S., Trillo, F., Colombo, D., Novali, F., Malvarosa, F., (۱۳۹۴)، سنجش مقدار و پهنی خطر فرونشست زمین با استفاده از روش تداخل‌سنگی راداری، مجله پژوهش‌های ژئومورفولوژی کمی، سال پنجم، شماره ۲، صص ۸۲-۹۳.
- ۱۳- فتح‌الهی، آخوندزاده هنرائی، بحروفی؛ نرگس، مهدی، عباس. (۱۳۹۷)، بررسی فرونشست زمین در اثر استخراج مواد نفتی با استفاده از روش تداخل‌سنگی رادار، *فصلنامه علمی - پژوهشی اطلاعات جغرافیایی (سپهر)*، دوره ۲۷، شماره ۱۰۵، صص ۲۳-۳۴.
- ۱۴- فرزین‌کیا، زنگنه اسدی، امیر احمدی، زندی؛ ریابه، محمدعلی، ابوالقاسم، رحمان. (۱۳۹۸)، ارتباط فعالیت‌های تکتونیکی و تأثیر آن در فرونشست زمین در حوضه آبریز دشت جوین، هیدرو ژئومورفولوژی، سال ۵، شماره ۲۰، صص ۱۶۵-۱۸۵.
- ۱۵- گلی، مرادی، دهقانی؛ علی، مریم، مریم. (۱۳۹۸)، ارزیابی آسیب پذیری سکونتگاه‌های روستایی ناشی از فرونشست زمین در استان فارس، پژوهش و برنامه‌ریزی روستایی، دوره ۸، شماره ۴ (پیاپی ۲۷)، صص ۹۱-۱۰۶.
- ۱۶- محمدخان، گنجایان، گروسی، زنگنه‌تبار؛ شیرین، حمید، لیلا، زهرا. (۱۳۹۸)، ارزیابی تأثیر افت آب‌های زیرزمینی بر میزان فرونشست با استفاده از تصاویر راداری ستینل-۱- محدوده مورد مطالعه: دشت قروه، *فصلنامه اطلاعات جغرافیایی (سپهر)*، دوره ۲۸، شماره ۱۱۲، صص ۲۱۹-۲۳۰.
- ۱۷- ملک، بربان؛ سارا، رضا. (۱۳۹۷)، بررسی مخاطرات فرونشست زمین در جنوب شهر تهران؛ مطالعه موردي: منطقه ۲۰ تهران، چهارمین کنفرانس بین‌المللی یافته‌های نوین در علوم کشاورزی، منابع طبیعی و محیط زیست، تهران، انجمن توسعه و ترویج علوم و فنون بنیادین.
- ۱۸- هاشمی‌فرد، کردوانی، اسدیان؛ اکبر، پرویز، فریده. (۱۳۹۶)، تغییرات ژئومورفولوژیکی سازند گچساران ناشی از آبگیری سد گتوندعلیا، با استفاده از تکنیک تداخل‌سنگی تفاضلی رادار، هیدرو ژئومورفولوژی، شماره ۱۵، صص ۵۳-۳۷.
- ۱۹- یاراحمدی، روستایی، شریفی کیا، روستایی؛ جمشید،

- Subsidence risk due to groundwater extraction in urban areas using fractal analysis of satellite images. *Geofísica internacional*, 51(2), 157–167.
- 37- Rotter, P., & Muron, W. (2020). Automatic Detection of Subsidence Troughs in SAR Interferograms Based on Convolutional Neural Networks. *IEEE Geoscience and Remote Sensing Letters*.
- Mammone, C., & Vecchioli, F. (2017). Analysis of surface deformations over the whole Italian territory by interferometric processing of ERS, Envisat and COSMO-SkyMed radar data. *Remote Sensing of Environment*, 202, 250–275.
- 28- Damoah-Afari, P., Ding, X.L., & Lu, Z. (2008). Detecting ground settlement of shanghai using Interferometry synthetic Aperture Radar (InSAR) techniques. *The international Archives of the Photogrammetry, Remote Sensing and Spatial Information Sciences*, XXXVII, (B7), 117-124.
- 29- Du, Z., Ge, L., Li, X., & Ng, A. H.M. (2016). Subsidence monitoring in the Ordos basin using integrated SAR differential and time-series interferometry techniques. *Remote Sensing Letters*, 7(2), 180–189.
- 30- Ge, L., Li, X., Chang, H., Ng, A. H., Zhang, K., & Hu, Z. (2010). Impact of ground Subsidence on the Beijing-Tianjin high-speed railway as mapped by radar interferometry. *Annals of GIS*, 16(2), 91-102.
- 31- Haghghi, M. H., & Motagh, M. (2019). Ground surface response to continuous compaction of aquifer system in Tehran, Iran: Results from a long-term multi-sensor InSAR analysis. *Remote Sensing of Environment*, 221, 534–550.
- 32- Holecz F., J. Moreira, P. Pasquali, S. Voigt, E. Meier, D. Nuesch. (1997). Height Model Generation, Automatic Geocoding and Mosaicing using Airborne AeS-1 InSAR Data . Proceedings of IGARSS'97 Symposium
- 33- Leon, W. H., Martinez, J.P., Marin, M. H., Ceniceros, R. P., & Rea, M. D. (2018). Land subsidence and its effects on the urban area of Tepic city, México. *WIT Transactions on the Built Environment*, 179, 369-380.
- 34- Lyu, H.M., Shen S.L., Zhou, A., Yang, J. (2019). Risk assessment of mega-city infrastructures related to land subsidence using improved trapezoidal FAHP, *Science of the Total Environment*.
- 35- Osmanoglu, B., Dixon T. H., Wdowinski, S., Cabral-Cano, E., & Jiang, Y. (2011). Mexico City subsidence observed with persistent scatterer InSAR. *International Journal of Applied Earth Observations and Geoinformation*, 13(1), 1–12.
- 36- Rodriguez, R., Lira, J., & Rodríguez, I. (2012).